



## ارائه مساله طرح تاسیسات پویا با روش‌های فرالبتکاری تک جواب و مبتنی بر جمعیت

محمد مهدی کرمپور

کارشناسی ارشد مهندسی صنایع، دانشکده فنی مهندسی، گروه مهندسی صنایع، دانشگاه علم و فناوری مازندران، بهشهر

**مصطفی حاجی آفائی کشتلی (نویسنده مسؤول)**

استادیار مهندسی صنایع، دانشکده فنی و مهندسی، گروه مهندسی صنایع، دانشگاه علم و فناوری مازندران، بهشهر

Email: mostafahaji@mazust.ac.ir

تاریخ دریافت: ۹۵/۴/۹ \* تاریخ پذیرش: ۹۶/۱۱/۸

### چکیده

در جوامع مدرن امروزی، مراکز تولیدی باید قادر به ارائه پاسخی صریح، دقیق، فوری به تغییرات تقاضا و تبع آن تغییرات در محصول باشند، بنابراین در این مقاله در پی مطرح نمودن مساله چیدمان و بازارآبی تاسیسات مراکز تولیدی و خدماتی هستیم به گونه‌ای که مجموع هزینه‌های حمل و نقل مواد و بازارآبی خطوط تولیدی به کمترین میزان خود برسد. یک طرح بهینه باعث انتقال بهینه و کارا مواد بین تاسیسات و کاهش فرآیند کار و هزینه انبارداری می‌شود. برای مراکز تولیدی، هزینه حمل مواد مهمترین شاخص برای تعیین بهره‌وری یک طرح می‌باشد. این موضوع به عنوان مساله طرح تاسیسات پویا (DFLP) مطرح گردیده است. در این مقاله، با پنج روش فرالبتکاری شامل ژنتیک (GA)، شبیه‌سازی تبرید (SA)، جستجوی ممنوع (TS)، ازدحام ذرات (PSO) و رقابت استعماری (ICA) مدل سازی شده است. روش تاگوچی جهت انتخاب پارامترهای بهینه به کار برده شده است. نتایج حاصله به خوبی نمایانگر آن‌اند که روش‌های فرالبتکاری، راه کارهایی بهینه و موثر برای غلبه بر مساله طرح تاسیسات مراکز تولیدی و خدماتی ارائه می‌دهند. نتایج مدل سازی حاکی از آن هستند که الگوریتم رقابت استعماری در مقام مقایسه با دیگر روش‌ها، جواب‌های بهتری را در این مساله با محدودیت‌های مفروض در معیارهای مختلف ارائه می‌دهد.

**کلمات کلیدی:** الگوریتم رقابت استعماری، الگوریتم‌های فرالبتکاری، روش تاگوچی، مساله طرح تاسیسات پویا.

## ۱- مقدمه

امروزه اهمیت مسائل جانمایی بر کسی پوشیده نیست. بسیاری از مراکز کارگاهی و صنعتی هر روزه با ورود تجهیزات و تکنولوژی جدید با این مساله رو به رو خواهند بود. از این رو، مساله طرح تاسیسات استاتیک<sup>۱</sup> کارترین ترتیب بخش‌ها در یک مرکز را مشخص می‌نماید. این مرکز می‌تواند کارخانه‌ها، ساختمان‌های اداری و یا مراکز خدماتی باشد. یک طرح کارا به دیگر عملیات‌های مبتنی بر جریان کار جهت اجرای مناسب کمک می‌کند. برای ساخت تاسیسات، هزینه نقل و انتقال مواد با اهمیت‌ترین معیار برای تعیین کارایی و بهره‌وری یک چیدمان است که اغلب ۲۰-۲۵٪ کل هزینه‌های عملیاتی و ۱۵-۲۰٪ از کل هزینه‌های ساخت یک کالا به آن تعلق دارد & (Tompkins, White, Bozer, Frazelle, Tanchoco, Trevino, 1996). سطوح توان عملیاتی، کیفیت و موجودی نیز به طور غیرمستقیم با جریان مواد مرتبط هستند. هزینه حمل مواد، بر اساس جریان مواد میان بخش‌ها و فواصل بین موقعیت بخش‌ها تعیین می‌گردد. اگر این انتقال مواد برای مدت زمان طولانی تعییر نکند، مساله طرح تاسیسات استاتیک می‌تواند برای تعیین بهترین طرح استقرار مورد استفاده قرار گیرد.

هنگامی که جریان مواد میان بخش‌ها در طول افق برنامه‌ریزی شروع به تعییر کند، مساله طرح تاسیسات از حالت ایستا به حالت پویا تعییر می‌یابد که آن را مساله طرح تاسیسات پویا<sup>۲</sup> می‌نامند. اساس DFLP بر تعییرات جریان استوار است که ممکن است در آینده رخ دهد. افق برنامه‌ریزی (دورنمای آینده) می‌تواند به چندین بازه زمانی، هفته، ماه و یا سال، تقسیم شود. جریانی از داده برای هر دوره پیش‌بینی شده و فرض بر این است که جریان داده در طول دوره ثابت باقی می‌ماند، بنابراین مساله طرح تاسیسات را می‌توان برای هر دوره به عنوان یک SFLP در نظر گرفت و آن را به طور مستقل حل نمود.

اگر هزینه‌های انتقال مواد بسیار بزرگتر از هزینه‌های بازاری باشد، DFLP می‌تواند به صورت پی‌درپی به عنوان یک سری از SFLP‌ها یا مسائل تخصیص مضاعف<sup>۳</sup> حل شود. به عبارت دیگر، چیدمان برای دوره اول می‌تواند با حل QAP (SFLP) با استفاده از داده‌های تکی برای دوره اول به دست آید و سپس چیدمان برای دوره دوم را می‌توان با حل QAP (SFLP) با استفاده از داده‌های تکی برای دوره دوم به دست آورد. همچنین، اگر هزینه‌های بازاری بسیار بزرگتر از هزینه‌های انتقال مواد باشند، DFLP می‌تواند به عنوان یک سری از QAP‌ها (QAPs) حل شود. طرح به دست آمده برای دوره اول می‌تواند برای همه دوره‌ها اختصاص یابد، و کل هزینه حمل مواد به دست آید. علاوه بر این، طرح به دست آمده برای دوره دوم را نیز می‌توان به تمام دوره‌ها اختصاص داد، و کل هزینه حمل و انتقال مواد را به دست آورد. از این رو، تفاوت در هزینه‌های مادی حمل و نقل و بازاری به اندازه کافی کوچک هستند، به طوری که راه حل بهینه برای DFLP می‌تواند توسط روش‌های فوق به دست آید. این مقاله سعی در حل مساله طرح تاسیسات پویا به کمک پنج الگوریتم فرالبتکاری ژنتیک<sup>۴</sup>، شبیه‌سازی تبرید<sup>۵</sup>، جستجوی ممنوع<sup>۶</sup>، ازدحام ذرات<sup>۷</sup> و رقابت استعماری<sup>۸</sup> دارد، تا در نهایت بهترین استراتژی حل برای این مساله را بدست آورد.

### ب) پیشینه پژوهش

واضح است که کارایی یک الگوریتم به شدت به پارامترهای آن وابسته می‌باشد، به گونه‌ای که پارامترهای مختلف ممکن است پاسخ‌هایی با کیفیت‌هایی کاملاً متفاوت تولید کنند. همچنین، اگر تنظیم پارامترها به شکل درستی صورت نگیرد الگوریتم قادر به دست یابی به جواب‌هایی با کیفیت قابل قبول نمی‌باشد (Hajiaghaei-Keshteli, & Sajadifar, 2010).

مقاله برای تنظیم کردن پارامترهای هر یک از الگوریتم‌های پیشنهادی از روش تاگوچی استفاده می‌گردد.

در مقایسه با DFLP، SFLP بسیار جدید است، روزنبلات (Rosenblatt, 1986) اولین کسی است که به طور کامل DFLP را معرفی نموده و یک الگوریتم برنامه‌ریزی پویا برای حل آن ارائه کرده است. همانند SFLP محاسبات DFLP برای مسائل

<sup>1</sup> Static facility layout problem (SFLP)

<sup>2</sup> Dynamic facility layout problem (DFLP)

<sup>3</sup> Quadratic assignment problem (QAP)

<sup>4</sup> Genetic Algorithm

<sup>5</sup> Simulated Annealing

<sup>6</sup> Tabu Search

<sup>7</sup> Particle Swarm Optimization

<sup>8</sup> Imperialist Competitive Algorithm

بزرگ نیاز به روش‌های فرالبتکاری یا ابتکاری دارد، به عبارت دیگر، از آنجاییکه DFLP یک NP-hard می‌باشد، تعداد راه حل‌های ممکن یا طرح‌های چیدمان برای یک نمونه با  $N^T$  دوره<sup>۹</sup> است، که تنها مسائل با سایز کوچک می‌توانند در یک زمان محاسباتی منطقی حل شوند.

اکثر روش‌های حل برای DFLP با استفاده از روش‌های ابتکاری صورت می‌گیرد. لاکسونن (Lacksonen TA, 1993) یک الگوریتم برای حل DFLP با تغییر مناطق هر بخش با استفاده از طرح پیوسته چیدمان ارائه کرده است. روزنبلات (Rosenblatt, 1986) دو هیوریستیک را که در هر دو آنها از برنامه‌ریزی پویا استفاده می‌شود را پیشنهاد داده‌اند. با این حال، اربن (Urban, 1993) هیوریستیک تعویض زوجی تندترین شبیه را برای حل DFLP معرفی نموده، که شبیه به CRAFT ارائه شده توسط آمور و بوفا (Armour, & Buffa 1963) برای SFLP است. تفاوت این دو هیوریستیک در هزینه‌های بازارآمدی و مفهوم پنجره‌های پیش‌بینی است. پنجره پیش‌بینی، تعدادی از دوره‌های متوالی در جریان داده‌های جمع‌آوری شده برای بهبود یک طرح اولیه در یک دوره معین با به‌کارگیری هیوریستیک‌های زوجی با شبیه تند می‌باشد. تعداد پنجره‌های پیش‌بینی برابر با تعداد دوره‌های زمانی (T) است. بهویژه، هیوریستیک اربن (Urban, 1993) با یک حل اولیه برای دوره ۱ و پنجره پیش‌بینی روی یک چیدمان بهبودیافته در دوره ۱ (عنوان مثال  $m=1$ ) بعنوان یک چیدمان اولیه برای دوره ۲ و نیز CRAFT استفاده می‌گردد. این چیدمان بهبودیافته در دوره ۱ بعنوان یک چیدمان اولیه برای دوره ۲ و نیز CRAFT در دوره ۲ برای تولید یک چیدمان بهبودیافته برای دوره ۳ مورد استفاده قرار می‌گیرند. این فرایند تا رسیدن به یک چیدمان بهبودیافته برای تمام دوره‌ها ادامه می‌یابد. بعنوان یک نتیجه، برای پنجره‌های پیش‌بینی T، جواب بدست می‌آید و از بین آنها بهترین جواب انتخاب می‌شود.

چندین الگوریتم ابتکاری پیشنهادی برای DFLP نیز وجود دارد. کانونی و ونکاتارامان (Conway, & Venkataraman, 1994) DFLP را با الگوریتم ژنتیک ساده حل کرده‌اند. بالاکریشنان و چنگ (Balakrishnan, & Cheng, 2000) یک الگوریتم ژنتیک حلقه‌های تودرتو<sup>۱۰</sup> را برای حل DFLP ارائه داده‌اند. در حلقه درونی، اپراتورهای ژنتیک به منظور بهبود برخی از جواب‌ها در جمعیت استفاده می‌شوند. حلقه خارجی شامل دوره‌های معین جایگزینی تعدادی از جواب‌های نامطلوب در جامعه است که تضمین می‌کند حلقه داخلی با جمعیت‌های مختلف کار می‌کند. این اقدام فضای جستجو را گسترش داده و منجر به راه حل‌هایی با کیفیت بالا می‌شود. کاکو و مازولا (Kaku, & Mazzola, 1997) یک الگوریتم جستجوی ممنوع برای DFLP ارائه داده‌اند. بالاکریشنان و همکاران (Balakrishnan, Cheng, & Conway, 2000) دو الگوریتم ابتکاری پیشنهاد داده‌اند که الگوریتم ابتکاری مبادله زوجی تندترین شبیه اربن را بهبود بخشیده‌اند. اولین الگوریتم ابتکاری، از الگوریتم ابتکاری اربن، برای تولید راه حل می‌کند که این راه حل‌های تولید شده برای هر پنجره پیش‌بینی، با استفاده از الگوریتم ابتکاری مبادله زوجی بازگشت به عقب، بهبود یافته و در نهایت بهترین راه حل انتخاب می‌شود. روش ابتکاری دوم به این صورت است که الگوریتم ابتکاری اربن را با برنامه‌ریزی پویا ترکیب می‌کند. بالاکریشنان و همکاران (Balakrishnan, Cheng, Conway, & Lau, 2003) یک الگوریتم ژنتیک ترکیبی برای DFLP، که از یک عملگر تقاطع<sup>۱۱</sup> ابتکاری بر اساس برنامه‌نویسی پویا استفاده می‌کند، ارائه داده‌اند. ابتدا، هر طرح چند دوره‌ای در داده‌های والد، به تعدادی طرح تک دوره‌ای، تجزیه می‌شود. سپس، با حذف طرح‌های تکراری یا کپی شده، بهترین ترکیب در میان تمام طرح‌بندی‌ها با استفاده از برنامه‌ریزی پویا به دست می‌آید.

لاکسونن و انسکور (Lacksonen, & Enscore, 1993) پنج الگوریتم اصلاحی برای حل DFLP بکار گرفته‌اند. این پنج الگوریتم براساس ۱. روش ابتکاری برنامه‌ریزی پویای ارائه شده توسط روزنبلات (Rosenblatt, 1986)، ۲. الگوریتم شاخه و کران برای QAP توسط پاردادلوس و کروز (Pardalos, & Crouse, 1989)، ۳. الگوریتم صفحه برش برای QAP توسط بورکارد و بونیگر (Burkard, & Bonniger, 1983)، ۴. برش درخت توسط گوموری و هو (Gomory, & Hu, 1961)، و ۵. کرافت (CRAFT) برای QAP توسعه یافته توسط آمور و بافا (Armour, & Buffa 1963)، بوده است. همچنین،

<sup>۹</sup> Nested loops genetic algorithm (NLGA)

<sup>۱۰</sup> Crossover

بالاکریشنان و چنگ (Balakrishnan, & Cheng, 2000) الگوریتم ژنتیک ارائه شده توسط کانوی و ون کاتارامانان (Baykasoglu, Conway, & Venkataraman, 1994) را برای حل DFLP بهبود داده‌اند. بایکاسوگلو و جیندی (Balakrishnan, Cheng, Conway, & Lau, 2003) و بالاکریشنان و همکاران (Erel, & Gindy, 2001) به ترتیب روش ابتکاری شبیه‌سازی شده تبرید و الگوریتم ژنتیک ترکیبی برای DFLP را پیشنهاد کردند. اخیراً، ارل و همکاران (Ghosh, & Simon, 2003) یک رویکرد سه فازی برای حل DFLP معرفی نموده‌اند. در وهله اول، مجموعه‌ای از چیدمان‌های "خوب" با ترکیب داده‌های جریان از T دوره با استفاده از یک طرح وزن‌دهی ایجاد شده است و برای حل SFLP در هر دوره از داده‌های جریان ترکیب شده استفاده می‌شود. در وهله دوم، مجموعه‌ای از راه‌حل‌هایی که در مرحله اول و با برنامه‌ریزی پویا به دست آمدند، برای رسیدن به راه‌حل‌هایی برای DFLP استفاده می‌شوند. در پایان، راه حل بدست آمده در مرحله دوم با استفاده از یک استراتژی تبادل زوجی به صورت تصادفی بهبود می‌یابد. همچنین، مک‌کندال و شانگ (McKendall, & Shang, 2006) سیستم‌های ترکیبی را برای حل DFLP ارائه کرده‌اند.

در ادامه مقاله در بخش ۲ روش شناسی پژوهش متشكل از بیان مساله، چهارچوب مفهومی و روش‌های پیشنهادی ارائه می‌شود. در بخش ۳ به انجام آزمایش‌های موردنظر و نتایج بدست آمده به همراه پیشنهادهایی برای تحقیقات آتی پرداخته می‌شود. درنهایت در بخش ۴ فهرست منابع استفاده شده ارائه می‌گردد.

## ۲- روش‌شناسی

تحقیق حاضر با هدف ارائه بهترین الگوریتم به منظور حل مساله طرح تاسیسات پویا انجام شده است. می‌توان بیان داشت که روش‌های فرآبتكاری و ابتکاری می‌توانند برای حل مسائل طرح تاسیسات پویا بسیار کارا باشد. در این تحقیق نه تنها از الگوریتم‌های قدرتمند تک جواب بهره گرفته شده، بلکه از روش‌های مبتنی بر جمعیت با استفاده از رویکردهای نوین نیز استفاده گردیده است، تا با مقایسه روش‌های گوناگون کارترین روش‌ها مشخص گردد.

### الف) مدل مفهومی

مفهومات برای DFLP استاندارد (McKendall, & Shang, 2006) به صورت زیر توضیح داده شده‌اند:

- جریان بین بخش‌ها در تاسیسات، پویا و قطعی می‌باشد.
  - افق برنامه‌ریزی به T دوره تقسیم شده است.
  - در هر دوره زمانی، هر یک از تاسیسات تنها باید در یک محل قرار داده شوند.
  - در هر دوره زمانی، جریان مواد بین هر جفت از تاسیسات از قبل مشخص می‌باشد و در طول دوره تغییر نمی‌کند.
- هدف، به دست آوردن طرح چیدمانی است که مجموع هزینه‌های جابجایی مواد و بازآرایی را به حداقل برساند (به عنوان مثال، طرحی برای همه دوره‌ها).

$$\min z = \sum_{t=2}^T \sum_{i=1}^N \sum_{j=1}^N \sum_{l=1}^N A_{t,i,j,l} \times Y_{t,i,j,l} + \sum_{t=1}^T \sum_{i=1}^N \sum_{j=1}^N \sum_{k=1}^N \sum_{l=1}^N c_{t,i,j,k,l} \times X_{t,i,j} \times X_{t,k,l} \quad (1)$$

Subject to.

$$\sum_{j=1}^N X_{t,i,j} = 1 \quad i = 1, 2, \dots, N; \quad t = 1, 2, \dots, T \quad (2)$$

$$\sum_{i=1}^N X_{t,i,j} = 1 \quad i = 1, 2, \dots, N; \quad t = 1, 2, \dots, T \quad (3)$$

$$Y_{t,i,j,l} = X_{t-1,i,j} \times X_{t,i,l} \quad i, j, l = 1, 2, \dots, N; \quad t = 2, \dots, T \quad (4)$$

$$X_{t,i,j} \in \{0,1\} \quad i, j = 1, 2, \dots, N; \quad t = 1, 2, \dots, T \quad (5)$$

$$Y_{t,i,j,l} \in \{0,1\} \quad i, j, l = 1, 2, \dots, N; \quad t = 2, \dots, T \quad (6)$$

$N$  : تعداد بخش ها / مکان های تاسیسات

$T$  : تعداد دوره های زمانی مورد نظر

$i, j, k, l$  : شاخص برای بخش ها / مکان های تاسیسات

$t$  : شاخص برای دوره های زمانی موردنظر

$A_{t,i,j,l}$  : هزینه انتقال بخش  $i$  از مکان  $j$  به  $l$  در دوره  $t$

$C_{t,i,j,k,l}$  : هزینه جریان مواد در دوره  $t$  بین بخش  $i$  که در مکان  $j$  قرار گرفته و بخش  $k$  که در مکان  $l$  می باشد.  
متغیرهای تصمیم مدل (با اینتری):

$X_{t,i,j}$  : برابر با ۱ خواهد بود اگر بخش  $i$  در دوره  $t$  به مکان  $j$  تخصیص یابد، در غیراینصورت برابر با ۰ می باشد.

$Y_{t,i,j,l}$  : برابر با ۱ خواهد بود اگر بخش  $i$  از مکان  $j$  به  $l$  در ابتدای دوره  $t$  انتقال یابد و در غیراینصورت برابر با ۰ است.

تابع هدف (۱) برای کمینه کردن مجموع هزینه های بازار آرایی و جابه جایی مواد است. مجموعه محدودیت (۲) تصمین می کند که هر مکان تنها به یک بخش در هر دوره تخصیص می یابد، و مجموعه محدودیت (۳) تصمین می کند که دقیقاً یک بخش به هر مکان در هر دوره اختصاص داده شود. در مجموعه محدودیت (۴) اگر یک بخش بین مکان ها در دوره های متوالی جابه جا شود با اضافه کردن هزینه های بازار آرایی، به هزینه جابه جایی مواد کمک می کند (در جلوگیری از بالا رفتان آن موثر می باشد). در نهایت، مجموعه محدودیت های (۵) و (۶) متغیرهای تصمیم مدل را تعیین می کنند.

به منظور پیاده سازی این مساله، پنج روش الگوریتم های فرالبتکاری استفاده کرده است. به منظور جستجوی فضاهای شدنی این روش ها در مسائل NP-hard برای دست یابی به پاسخ های بهینه می باشند. الگوریتم های بهینه سازی در دو دسته دقیق<sup>۱۱</sup> و تقریبی<sup>۱۲</sup> جای می گیرند، بطوری که زمان اجرای آن ها متناسب با ابعاد مسائل به صورت نمایی افزایش می یابد و ممکن است هیچ گاه به پاسخ نرسند. برای غلبه بر این مشکل الگوریتم های ابتکاری ارائه شدند که مشکل عدمه آن ها گیر افتادنشان در فضاهای بهینه محلی<sup>۱۳</sup> است، در واقع الگوریتم های فرالبتکاری راه حلی برای فرار از این نقاط با الهام گرفتن از پدیده های طبیعی و روزمره زندگی انسان هستند.

الگوریتم های فرالبتکاری را می توان در دو دسته جمعیت محور مانند، الگوریتم ژنتیک (GA) و ازدحام ذرات (PSO) و الگوریتم رقابت استعماری یا نقطه محور مانند شبیه سازی تبرید (SA) و جستجوی ممنوع (TS) طبقه بندی کرد.

### ب) الگوریتم ژنتیک

بر پایه نقش ژنتیک در طبیعت و تکامل طبیعی جانداران، جان هالند (۱۹۷۵)<sup>۱۱</sup> گونه منحصر به فردی از الگوریتم های تکاملی را در اوایل دهه ۷۰ میلادی به نام الگوریتم ژنتیک ارائه داد. پس از مشخص نمودن جواب اولیه باید با استفاده از دو عملگر تقاطع و جهش<sup>۱۲</sup> اقدام به ایجاد کروموزوم های جدید موسوم به فرزند شود. سپس با عمل ارزیابی (برآش)، مهمترین بحث در فرآیند انتخاب، بهترین کروموزوم ها انتخاب می شوند. بر این اساس، پس از تکرار چند نسل، بهترین نسل که همان پاسخ بهینه مساله است، ایجاد خواهد شد. شبیه کد الگوریتم ژنتیک در ادامه آمده است.

<sup>11</sup> Exact

<sup>12</sup> Approximate

<sup>13</sup> Local optimum

<sup>14</sup> Mutation

Initialize the parameters.

**while** ( $t < \text{maximum number of iteration}$ )

Select the two solutions by roulette wheel selection.

Perform crossover on the two mentioned solutions.

Perform mutation on the percent of the new generation.

Merge the next generation.

$t = t + 1$

**endwhile**

شکل شماره (۱): شبیه کد الگوریتم ژنتیک

پ) الگوریتم رقابت استعماری  
الگوریتم رقابت استعماری نه از پدیده‌ای اجتماعی اقتباس گشته است. به طور خاص این الگوریتم به پروسه استعمار به عنوان مرحله‌ای از تکامل سیاسی – اجتماعی نوع بشر نگریسته و با مدل‌سازی ریاضی این پدیده تاریخی از آن به عنوان منشا الهام یک الگوریتم بهینه‌سازی استفاده می‌کند. به منظور توضیح بیشتر، شبیه-کد الگوریتم رقابت استعماری در شکل (۲) آورده شده است.

Generate a population randomly named as countries.

Initialize empires and their colonies.

**while** ( $t < \text{maximum number of iteration}$ )

**for** each empire

move the colony toward the relevant empires.

Compute the cost of assimilated country.

**if** the cost of new country is better than empire

Exchange the empire and its country.

**endif**

Pick the weakest colony from the weakest empire.

Assign it to the empire that has most likelihood to posse it.

**endfor**

**if** there is an emperialist has no colonies.

Eliminate this empire.

**endif**

Update the new generation.

$T=t+1;$

**Endwhile**

شکل شماره (۲): شبیه کد الگوریتم رقابت استعماری

ت) الگوریتم ازدحام ذرات نخستین بار کنده و ابرهارت در دهه ۹۰ میلادی با الهام از حرکات پرندگان و با کشف رابطه منطقی میان تغییر جهت و سرعت پرندگان و علم به اشتراک گذاری اطلاعات میان مجموعه خودشان (پرندگان) و با کمک علم فیزیک روشی پیشنهادی با عنوان ازدحام ذرات را ارائه نمودند. برای اطلاعات بیشتر در مورد مراحل الگوریتم در شکل (۳) شبیه کد الگوریتم آمده است.

Set the parameters.

Generate initial particles (P).

$T_1=clock;$

$it=1;$

**while** ( $t < \text{maximum time of simulation}$ )

**for** each particle  $p$  in P

$fp=f(p); /*\text{evaluate the particles}*/$

**if**  $fp$  is the better than  $pbest$

$pbest=p;$

**endif**

**endfor**

$gbest=\text{best } p \text{ in } P;$

**for** each particle  $p$  in P

$v=w*v+c_1*\text{rand}*(pbest-p)+c_2*\text{rand}*(gbest-p);$

$p=p+v;$

**endfor**

$w=w^*$ ;

$it=it+1;$

$T_2=clock;$

$t=\text{etime}(T_2,T_1);$

**endwhile**

return  $gbest$

## شکل شماره (۳): شبیه کد الگوریتم هوش تجمیعی ذرات

ث) الگوریتم شبیه سازی تبرید

الگوریتم فرالبتکاری شبیه سازی تبرید (SA) را نخستین بار کپاتریک و همکارانش در دهه ۸۰ میلادی به جوامع علمی ارائه کردند. الگوریتم شبیه سازی تبرید جزء روش های جستجوی نقطه ای (همسایگی) است که به دلیل پذیرفتن پاسخ های غیر بهبوددهنده تابع هدف، برخلاف سایر روش های جستجوی نقطه ای به نقطه شروع (راه حل اولیه) بستگی ندارد و می تواند از دام بهینه های محلی تا حد زیادی بگریزد.

نحوه کار این الگوریتم بدین شکل است که نخست یک جواب شدنی اولیه به دست می آید، پس از آن برای تولید جواب های همسایگی از عملگر جهش استفاده می شود و در ادامه با بکارگیری تابع احتمال بولتزمان  $e^{\frac{-\Delta E}{T}} = p$  برای پذیرش پاسخ های بدتر نسبت به پاسخ های پیشین و خروج از بهینه محلی بهره می برد. سپس با الگویی خاص پارامتر دما را در هر تکرار کاهش داده تا شرایط اختمام و توقف الگوریتم مهیا شود. شرایط خاتمه گوناگونی می توان برای یک الگوریتم شبیه سازی تبرید به کار گرفت که از جمله آن ها می توان به تعداد دفعات کاهش سطح دما، تعداد دفعات متوالی که در تابع هدف بهبودی مشاهده نشود، رسیدن به دمای پایانی مورد نظر و تعداد تکرار الگوریتم اشاره کرد. شبیه کد الگوریتم تبرید در شکل (۴) آورده شده است.

Select a random solution  $X^*$ .

Initialize the parameters.

**while** ( $t < \text{maximum number of iteration}$ )

    sub=0;

**while** (sub<  $\text{maximum number of sub-iteration}$ )

        Create a neighbor of this solution.

**if** the function value of the new solution is better than prior

            Replace the new solution as old solution.

**else**

            Calculate  $\delta$ ,  $\delta = |f_{old} - f_{new}|$ .

**if** rand<  $\exp(-\delta/T)$

                Replace the new solution.

**endif**

**endif**

    sub=sub+1;

**endwhile**

    Update T.

    Update the  $X^*$  if there is better solution.

$t=t+1$ ;

**endwhile**

return  $X^*$

شکل شماره (۴): شبیه کد الگوریتم تبرید شبیه سازی

ث) الگوریتم جستجوی ممنوع

الگوریتم جستجوی ممنوع یک الگوریتم بهینه سازی فرالبتکاری است که نخستین بار در دهه ۸۰ میلادی توسط گلوور معرفی گردید. برای رسیدن به یک پاسخ بهینه در مسائل بهینه سازی با الگوریتم جستجوی ممنوع ابتدا از یک جواب اولیه شروع به حرکت کرده و سپس الگوریتم بهترین جواب همسایه را از میان همسایه های جواب فعلی انتخاب می کند، چنانچه این جواب در فهرست ممنوع نباشد، الگوریتم به جواب همسایه ای که ایجاد شده طبق پارامترهای خود حرکت می کند، در غیر این صورت

الگوریتم با بهره مندی از معیاری به نام معیار تنفس<sup>۱۵</sup> اقدام به بهبود راه حل ها می کند. بر اساس معیار تنفس اگر جواب همسایه از بهترین جواب یافت شده تا کنون بهتر باشد، الگوریتم به آن حرکت خواهد کرد، حتی اگر آن جواب در فهرست ممنوع باشد که این خود یکی از ابزارهای این الگوریتم در کنار فهرست ممنوع برای فرار از بهینه محلی می باشد. شروط خاتمه گوناگونی نظریه تعداد تکرار، زمان سپری شده از شروع جستجوی الگوریتم، عدم بهبود جوابها و یا همگرایی به پاسخ بهینه را می توان برای الگوریتم جستجوی ممنوع در نظر گرفت. شبیه کد الگوریتم جست و جوی ممنوع در شکل (۵) آورده شده است.

Choose an initial solution  $X$  in  $S$ .

Set  $X^* = X$ .

*while* ( $t < \text{maximum number of iteration}$ )

Generate a subset  $V^*$  of solution in  $N_{(X,t)}$  such that either one of Tabu conditions is violated or at least one of the aspiration conditions holds.

Choose a best  $Y$  in  $V^*$  and set  $X = Y$ .

*if*  $f(X) < f(X^*)$

    Set  $X^* = X$ .

*endif*

    Update Tabu and aspirations conditions.

$t = t + 1$

*endwhile*

return  $X^*$

شکل شماره (۵): شبیه کد الگوریتم جست و جوی ممنوع

### ۳- نتایج و بحث

#### الف) نمونه ها

اندازه مسائل پیشنهادی از مقاله ای مرتبط (Pourvaziri, & Naderi, 2014) در شش اندازه مختلف الهام گرفته شده است. مقدار تقریبی پارامترها با استفاده از مقالات مرتبط در جدول (۱) خلاصه گردیده است.

جدول شماره (۱): اندازه های مسائل آزمایشی و مقادیر پارامترها

شماره مساله	اندازه مشخصه $N$	اندازه مشخصه $T$	توزیع پارامترها
۱	۶	۵	$U(۳۰۰ - ۱۴۳۰)$
۲	۶	۱۰	$U(۲۵۰ - ۱۲۰۰)$
۳	۱۵	۵	$U(۲۰۰ - ۸۰۰)$
۴	۱۵	۱۰	$U(۱۵۰ - ۶۰۰)$
۵	۳۰	۵	$U(۱۰۰ - ۴۰۰)$
۶	۳۰	۱۰	$U(۵۰ - ۲۰۰)$

ب) تنظیم پارامترها به روش تاگوچی<sup>۱۶</sup>

پر واضح است که کارایی یک الگوریتم شدیدا به پارامترهای آن وابسته می باشد، به طوریکه پارامترهای گوناگون ممکن است پاسخ هایی با کیفیت های کاملا متفاوت تولید کنند. همچنین، اگر پارامترها به گونه ای صحیح تنظیم نشوند الگوریتم توانایی لازم برای دست یابی به جواب هایی با کیفیت قابل قبول ندارد. به منظور تنظیم کردن پارامترهای الگوریتم ها، مساله ای با سایز متوسط

<sup>15</sup> Aspiration

<sup>16</sup> Taguchi

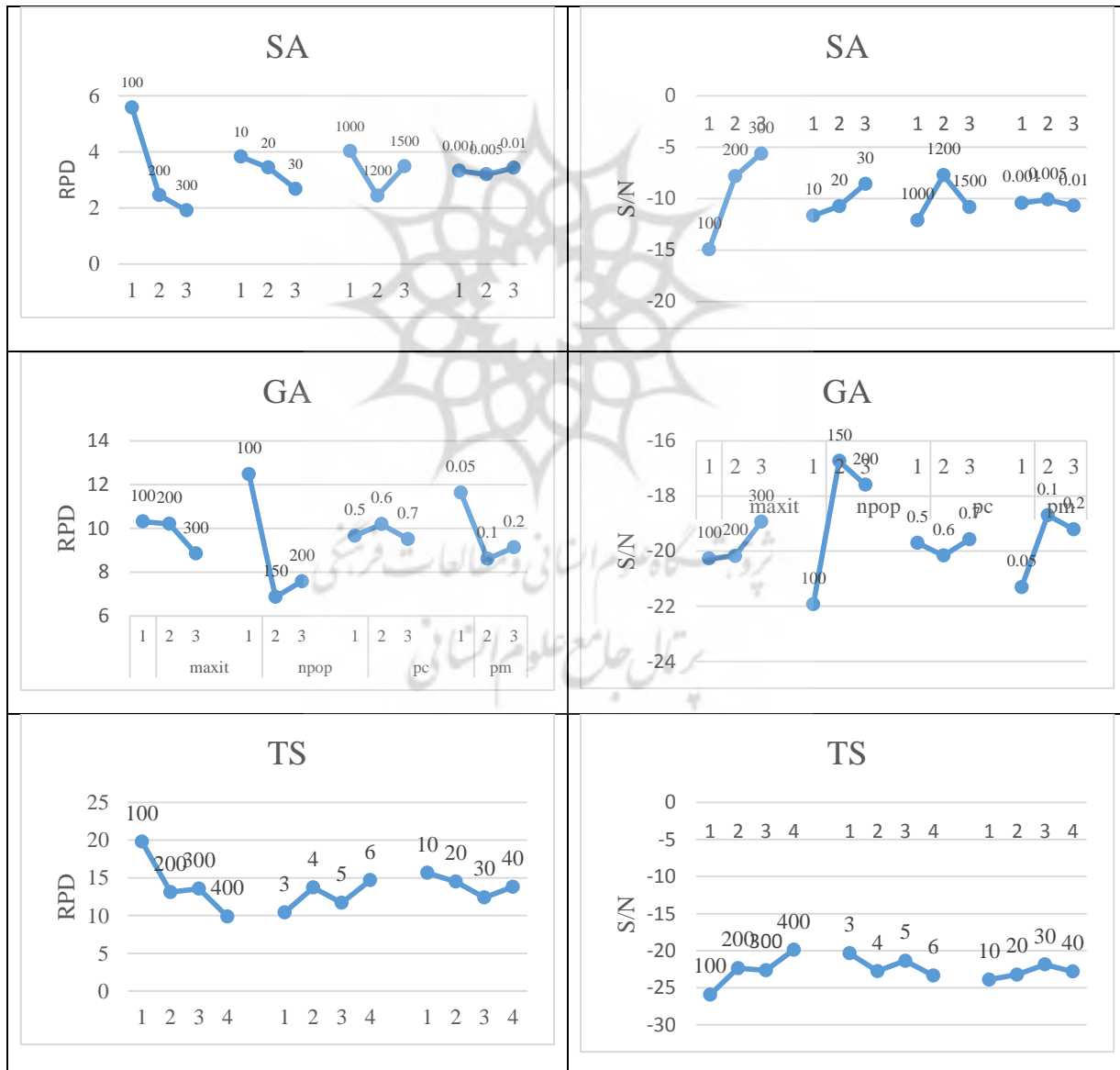
انتخاب کرده و بهترین مجموعه پارامترها تخمين زده می‌شوند. برای هر پارامتر الگوریتم چند سطح با توجه به اهمیت تنظیم آن پیشنهاد می‌شود. مقادیر ارائه شده برای الگوریتم‌ها در جدول (۲) آمده است. معیارهای پراکنده‌گی جواب‌های الگوریتم از بهترین جواب<sup>۱۷</sup> و سیگنال پاسخ هر سطح<sup>۱۸</sup> برای به دست آوردن بهترین سطح پارامترها، ارزیابی شده که نتایج آن در شکل (۶) برای هر الگوریتم آورده شده است. برای مطالعه بیشتر می‌توان به مقالات حاجی‌آقایی و همکاران (Hajiaghaei-Keshteli, & Sajadifar, 2010; Hajiaghaei-Keshteli, Sajadifar, & Haji, 2011) مراجعه کرد.

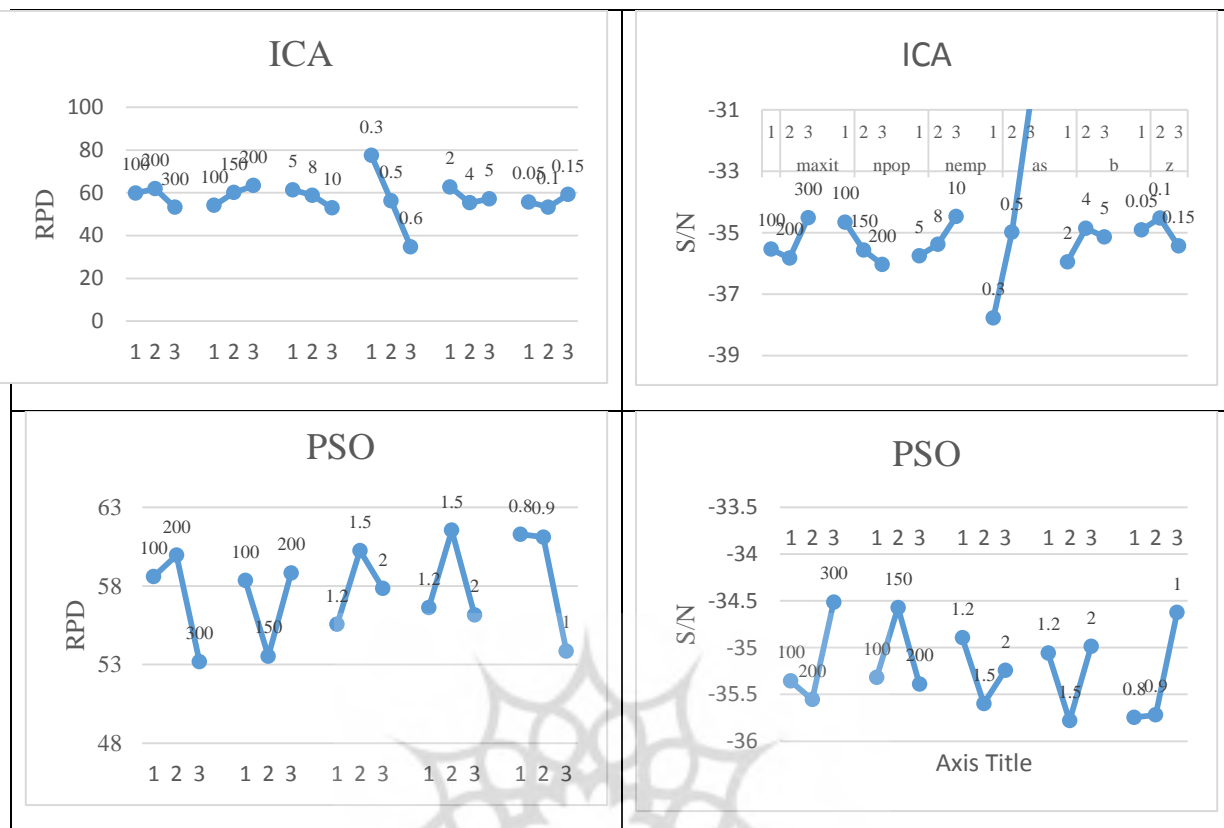
جدول شماره (۲): مقادیر پیشنهادی برای الگوریتم‌ها

		پارامتر سطح چهارم	پارامتر سطح سوم	پارامتر سطح دوم	پارامتر سطح اول
GA	الگوریتم	پارامتر			
	Maximum number of iteration=Maxit		۱۰۰	۲۰۰	۳۰۰
	Number of initial population=nPop		۱۰۰	۱۵۰	۲۰۰
	Percent of crossover=pc		.۰/۵	.۰/۶	.۰/۷
SA	Percent of mutation=pm		.۰/۰۵	.۰/۱	.۰/۲
	Maximum number of iteration=Maxit		۱۰۰	۲۰۰	۳۰۰
	Maximum number of sub-iteration=Sub-it		۱۰	۲۰	۳۰
	Temperature =T		۱۰۰۰	۱۲۰۰	۱۵۰۰
TS	Rate of reduction=R		.۰/۰۰۱	.۰/۰۰۵	.۰/۰۱
	Maximum number of iteration=Maxit		۱۰۰	۲۰۰	۳۰۰
	Number of neighbour=NN		۳	۴	۵
	Tabu list=TL		۱۰	۲۰	۳۰
ICA	Maximum number of iteration=Maxit		۱۰۰	۲۰۰	۳۰۰
	Number of initial population=nPop		۱۰۰	۱۵۰	۲۰۰
	Number of empires=Nemp		۵	۸	۱۰
	Assimilation rate=As		.۰/۳	.۰/۵	.۰/۶
	Betta=b		۲	۴	۵
	Zetta=z		.۰/۰۵	.۰/۱	.۰/۱۵

<sup>۱۷</sup> RPD (Relative of Percent Deviation)<sup>۱۸</sup> S/N (Sense to Noise)

	Maximum number of iteration=Maxit	۱۰۰	۲۰۰	۳۰۰	-
PSO	Number of initial population=nPop	۱۰۰	۱۵۰	۲۰۰	-
	Individual learning=c1	۱/۲	۱/۵	۲	-
	Social learning=c2	۱/۲	۱/۵	۲	-
	Inertia weight=w	۰/۸	۰/۹	۱	-





شکل شماره (۶): مقادیر پراکندگی انحراف پارامترهای الگوریتم‌ها و نرخ پاسخ آنها

برای الگوریتم ژنتیک و شبیه‌سازی تبرید از جدول ۱۶ استفاده شده و برای الگوریتم رقابت استعماری و ازدحام ذرات از طرح ۲۷ و در نهایت برای الگوریتم جستجوی ممنوع طرح ۱۶ پیشنهاد گردیده است. جدول (۳) مقادیر نهایی الگوریتم‌ها برای حل در مساله نشان می‌دهد.

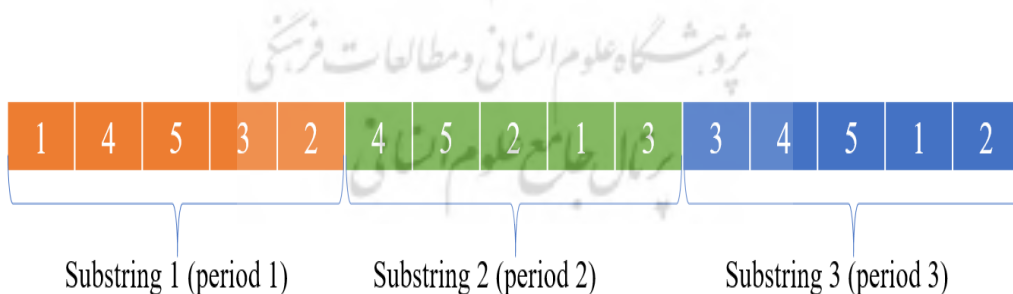
جدول شماره (۳): مقادیر نهایی برای پارامترهای الگوریتم‌ها

الگوریتم	پارامتر	بهترین مقدار
GA	Maximum number of iteration=Maxit	۲۰۰
	Number of initial population=nPop	۲۰۰
	Percent of crossover=pc	۰/۷
	Percent of mutation=pm	۰/۱
SA	Maximum number of iteration=Maxit	۳۰۰
	Maximum number of sub-iteration=Sub-it	۲۰
	Temperature =T	۱۲۰
	Rate of reduction=R	.۰۰۵
TS	Maximum number of iteration=Maxit	۴۰۰
	Number of neighbour=NN	۶
	Tabu list=TL	۴۰
ICA	Maximum number of iteration=Maxit	۲۰۰

	Number of initial population=nPop	۲۰۰
	Number of empires=Nemp	۱۰
	Assimilation rate=As	.۰۶
	Betta=b	۵
	Zetta=z	.۰۱
	Maximum number of iteration=Maxit	۳۰۰
PSO	Number of initial population=nPop	۱۵۰
	Individual learning=c1	۱/۲
	Social learning=c2	۲
	Inertia weight=w	۱

#### پ) مقایسه روش‌ها

نخستین مرحله در حل مدل، ایجاد ارتباط میان مدل مساله با ساختار الگوریتم‌های فرآینکاری برای ایجاد یک راه ارتباطی میان مساله و فضای شدنی است، که در آن تکامل به وقوع می‌پیوندد. عملاً، باید راهی به منظور نمایش کروموزوم‌های شدنی برگزیده شود. معمولاً، کروموزوم‌های شدنی، در مسائل بهینه‌سازی ترکیبی (گسسته) می‌توانند رشته‌هایی از ارقام صحیح، در مساله‌های پیوسته برداری رشته‌هایی از ارقام حقیقی، در مساله‌های بولین رشته‌هایی از اعداد زوجی و چنانچه نیاز باشد، ترکیبی از نمایشها را در برگیرند. لذا گزینش یک روش نمایش متناسب، یکی از با اهمیت‌ترین بخش‌های طراحی یک الگوریتم است. بیشتر الگوریتم‌های فرآینکاری از رویه‌های تصادفی به منظور ایجاد مجموعه جواب‌های اولیه استفاده می‌کنند. نحوه نمایش جواب در این مقاله در شکل (۷) آورده شده است. جدول (۳) حل مساله DFLP با اندازه‌های مختلف را توسط پنج الگوریتم مذکور نشان می‌دهد. نتایج حاصله نشان از برتری الگوریتم رقابت استعماری و هوش تجمعی ذرات با افزایش اندازه مساله است. به صورت مفصل تر، الگوریتم ژنتیک و تبرید شبیه‌سازی شده تنها در مسائل یک و چهار به ترتیب به مقادیر بهتری دست پیدا کرده‌اند. در مجموع مسائل الگوریتم رقابت استعماری عملکرد مناسب‌تری داشته است. لازم به ذکر است هر الگوریتم با پارامترهای بهینه، ۳۰ مرتبه مورد اجرا قرار گرفته است.



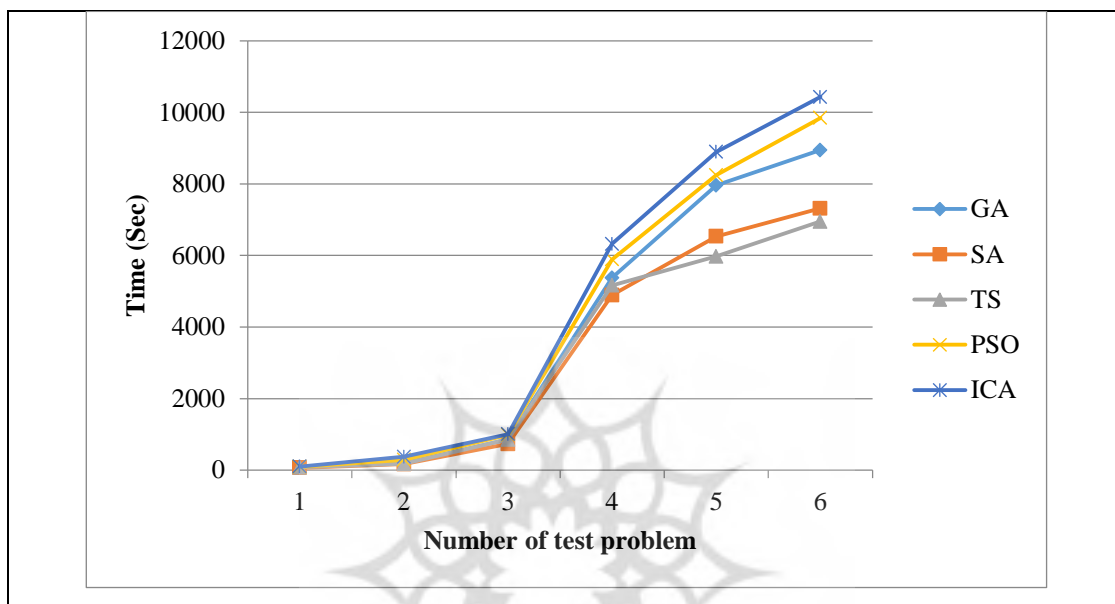
شکل شماره (۷): نمایش جواب الگوریتم‌ها برای ۵ جانمایی در سه دوره

جدول شماره (۴): نتایج محاسباتی برای مساله DFLP با سایزهای مختلف

الگوریتم	PSO	ICA	الگوریتم	TS	الگوریتم	SA	GA	شماره مساله
۱۱۰۹۱۸/۴	۱۱۳۹۴۶	۱۲۲۸۰۹/۶	۱۱۵۰۲۲	۱۰۵۶۴۲/۹	۱			
۴۴۴۲۵۱	۴۳۴۰۷۲/۱	۴۴۴۲۸۴/۴	۴۴۶۳۱۵	۴۳۵۶۲۵/۳	۲			
۴۴۰۰۶۰/۹	۴۶۱۴۱۳/۱	۴۴۴۲۶۷/۴	۴۵۸۷۳۶	۴۵۹۴۰۶/۳	۳			
۷۶۷۷۹۷/۵۱۸۵	۷۶۴۵۷۶/۱۴۸۱	۷۶۹۷۶۱/۳۴۳۳	۷۶۴۵۳۱	۷۶۹۸۵۹/۴	۴			
۸۹۲۸۴۵/۴۸۱۵	۸۶۸۴۵۰/۳	۹۱۲۶۳۳/۴	۸۹۶۳۹۴	۹۰۴۸۵۳	۵			

۶	۱۲۴۱۷۷۷	۱۲۵۳۰۰۷	۱۲۲۹۶۳۲	۱۲۲۲۰۱۵/۷۰۴	۱۲۱۰۱۹۵/۳۹۶
میانگین	۶۵۲۸۶۰/۶۵	۶۵۵۶۶۷/۵	۶۵۳۸۹۸/۰۲۲	۶۴۴۰۷۸/۸۹۲	۶۴۴۳۴۴/۷۶۶

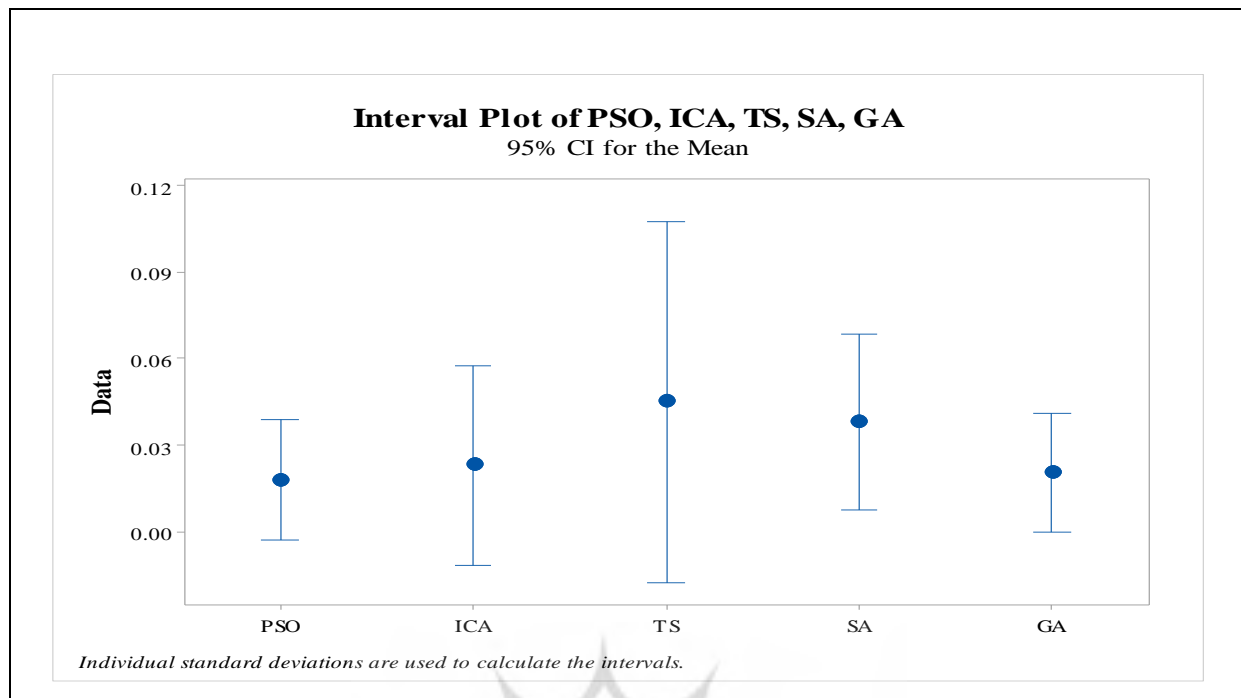
شکل (۸) بیانگر رفتار زمان حل الگوریتم‌ها نسبت به سایز مساله می‌باشد. همان طور که می‌بینیم الگوریتم رقابت استعماری با افزایش اندازه مساله، نیاز به زمان بیشتری برای حل دارد.



شکل شماره (۸): زمان حل الگوریتم‌ها در مسائل مختلف طراحی شده

و درنهایت همان طور که در شکل (۹) مشخص است با استفاده از تحلیل واریانس، جواب الگوریتم‌ها را برای ۳۰ بار اجرا، بین سایز مساله و کیفیت جواب الگوریتم‌ها، به تصویر کشیده‌ایم، نتایج نشان دهنده اختلاف آشکار میان کیفیت جواب‌های الگوریتم است. بر این اساس، الگوریتم تجمعی ذرات نسبت به سایر روش‌ها میانگین کمتری دارد و الگوریتم جستجوی منوع انحراف معیار زیادی نسبت به سایر الگوریتم‌ها دارد.

پرستال جامع علوم انسانی



شکل شماره (۹): کیفیت جواب الگوریتم‌ها

ت) نتیجه‌گیری و پیشنهادات آتی

در این مقاله، دو دسته از الگوریتم‌های فرالبتکاری جمعیت محور و نقطه‌ای، شامل الگوریتم فرالبتکاری ژنتیک، شبیه‌سازی تبرید، جستجوی منونع، ازدحام ذرات و رقابت استعماری برای حل DFLP بکار گرفته شده است. کیفیت پاسخ‌های ارائه شده توسط الگوریتم‌ها تا حد زیادی به تنظیم اولیه پارامترهای هر الگوریتم مستگی دارد. در این مقاله با استفاده از تکنیک تاگوچی، تنظیم پارامتر الگوریتم‌ها بگونه‌ای پیاده‌سازی شد که هر یک از الگوریتم‌ها در بهترین شرایط خود، از منظر هم‌خوانی پارامترها، اجرا شوند و بهترین پاسخ را با توجه به محدودیت‌های ارائه کنند. بعد از مقایسه جواب‌های بدست آمده از اجرای هر یک از پنج الگوریتم متوجه شدیم که الگوریتم‌های جمعیت محور در مجموع جواب‌های بهینه بهتر، با زمان حل قابل قبول‌تری را ارائه می‌دهند و دارای عملکرد مناسبی می‌باشند. در ابتدا برای مسائل کوچک الگوریتم‌های موجود همگی پاسخ‌های قابل قبولی را ارائه می‌دادند، اما با افزایش فضای جستجو به مرور اختلاف کارایی الگوریتم‌ها و برتری نسبی الگوریتم‌های جمعیت محور نسبت به دیگر الگوریتم‌ها مشخص شد، اگر چه کارایی الگوریتم‌ها زمانی که اندازه مسائل بزرگ‌تر شد، کاهش یافت؛ اما مشخص شد که بین الگوریتم‌های بکار گرفته شده برای حل مدل مفروض، الگوریتم رقابت استعماری می‌تواند این افت را بهتر از الگوریتم‌های دیگر کاهش دهد و به طور استوارتری عمل کند، به عبارت دیگر، با افزایش اندازه مساله و فضای جستجو، کارایی الگوریتم بیشتر نمایان خواهد شد. همچنین با گرفتن میانگین از پاسخ‌های ارائه شده توسط هر یک از الگوریتم‌های پنج گانه نتیجه مشابهی در برتری الگوریتم رقابت استعماری برای حل مدل DFLP حاصل شد. از پیشنهادات زیر می‌توان برای مطالعات آینده استفاده نمود:

- توسعه تکنیکی ترکیبی برای حل DFLP، که ترکیب دو یا چند متاهیوریستیک را در نظر بگیرد.
- هزینه بازارایی بعنوان یک تابع هدف جداگانه در نظر گرفته شود؛ بنابراین موردی چند هدفه برای مساله طرح تاسیسات پویا (MODFLP) را می‌توان مدل سازی و حل کرد.
- طراحی الگوریتمی با تعداد پارامترهای کمتر.
- ارائه یک راه حل جدید برای تولید همسایگی و یا اپراتورهای جهش بطوریکه بتواند به منظور بهبود اثربخشی، از نظر کیفیت راه حل و زمان محاسباتی، استفاده شود.

1. Armour, G. C. (1963). A heuristic algorithm and simulation approach to relative location of facilities. *Management Science*, 9(2), 294-309.
2. Balakrishnan J, & C. (2000). Genetic search and the dynamic layout problem. *Computers & Operations Research*, 27(6):587–593.
3. Balakrishnan, J. C. (2000). An improved pair-wise exchange heuristic for the dynamic plant layout problem. *International Journal of Production Research*, 38(13), 3067-3077.
4. Balakrishnan, J. C. (2003). A hybrid genetic algorithm for the dynamic plant layout problem. *International Journal of Production Economics*, 86(2), 107-120.
5. BaykasogluA, & G. (2001). A simulated annealing algorithm for dynamic facility layout problem. . *Computers & Operations Research*, 28(14):1403–26.
6. Burkard RE, & B. (1983). A heuristic for quadratic Boolean problems with application to quadratic assignment problem. *European Journal of Operational Research*, 13:374–86.
7. Conway, D. G. (1994). Genetic search and the dynamic facility layout problem. *Computers & Operations Research*, 21(8), 955-960.
8. Erel E, G. J. (2003). New heuristic for the dynamic layout problem. . *Journal of the Operational Research Society*, 54:1275–82.
9. Gomory RE, & H. (1961). Multi-terminal network flows. *SIAM Journal*, 9:551–70.
10. Hajiaghaei-Keshteli, M. &. (2010). Deriving the cost function for a class of three-echelon inventory system with N-retailers and one-for-one ordering policy. *The International Journal of Advanced Manufacturing Technology*, 50(1-4), 343.
11. Hajiaghaei-Keshteli, M. S. (2011). Determination of the economical policy of a three-echelon inventory system with (R, Q) ordering policy and information sharing. *The International Journal of Advanced Manufacturing Technology*, 55(5-8), 831-841.
12. Kaku, B. K. (1997). A tabu-search heuristic for the dynamic plant layout problem. *INFORMS Journal on Computing*, 9(4), 374-384.
13. Lacksonen TA, & E. (1993). Quadratic assignment algorithms for the dynamic layout problem. *International Journal of Production Research*, 31(3):503–17.
14. McKendall, A. R. (2006). Hybrid ant systems for the dynamic facility layout problem. *Computers & Operations Research*, 33(3), 790-803. .
15. Pardalos PH, & C. (1989). Proceedings of the 1989 supercomputer conference. In *A parallel algorithm for the QAP*. (pp. p. 351–60.). New York: ACM Press.
16. Pourvaziri, H. &. (2014). A hybrid multi-population genetic algorithm for the dynamic facility layout problem. *Applied Soft Computing*, 24, 457-469.
17. Rosenblatt, M. J. (1986). The dynamics of plant layout. *Management Science*, 32(1), 76-86.
18. Tompkins, J. A. (1996). *Facilities Planning*. 2 nd edn(New York: Wiley).
19. Urban, T. (1993). A heuristic for the dynamic facility layout problem. *IIE Transactions*, 25(4):57–63.